

TẠP CHÍ

ISSN 0868 - 7052

# CÔNG NGHIỆP MỎ<sup>?</sup>

MINING INDUSTRY JOURNAL

NĂM THỨ XXXII SỐ 5 - 2018

CƠ QUAN CỦA HỘI KHOA HỌC VÀ CÔNG NGHỆ MỎ VIỆT NAM



BỘ MÔN TÌM KIẾM-THĂM DÒ - 40 NĂM XÂY DỰNG VÀ PHÁT TRIỂN

**TẠP CHÍ  
CÔNG NGHIỆP MỎ**  
CƠ QUAN CỦA HỘI KH&CN MỎ VIỆT NAM  
NĂM THỨ XXXII  
SỐ 5 - 2018

♦ Tổng biên tập:  
**GS.TS.NGND. VÕ TRỌNG HÙNG**

♦ Phó Tổng biên tập  
kiêm Thư ký Toà soạn:  
**ThS. NGUYỄN VĂN BIÊN**

♦ Uỷ viên Phụ trách Trị sự:  
**KS. TRẦN VĂN TRẠCH**

♦ Uỷ viên Ban biên tập:  
**TS. NGUYỄN BÌNH**  
**PGS.TS. PHÙNG MẠNH ĐẮC**  
**TSKH. ĐINH NGỌC ĐĂNG**  
**TS. NGHIÊM GIA**  
**PGS.TS.NGUT. HỒ SĨ GIAO**  
**TS. TẠ NGỌC HẢI**  
**CN. NGUYỄN THỊ HUYỀN**  
**TS. NGUYỄN HỒNG MINH**  
**GS.TS.NGUT. VÕ CHÍ MỸ**  
**PGS.TS. NGUYỄN CẨM NAM**  
**KS. ĐÀO VĂN NGÂM**  
**TS. ĐÀO ĐẮC TẠO**  
**TS. PHAN NGỌC TRUNG**  
**GS.TS.NGND. TRẦN MẠNH XUÂN**

♦ TOÀ SOẠN:  
**Số 3 - Phan Đình Giót**  
**Thanh Xuân-Hà Nội**  
**Điện thoại: 36649158; 36649159**  
**Fax: (844) 36649159**  
**Email: info@vinamin.vn**  
**Website: http://vinamin.vn**

♦ Tạp chí xuất bản với sự cộng tác  
của: Trường Đại học Mỏ-Địa chất;  
Viện Khoa học và Công nghệ Mỏ-  
Luyện kim; Viện Khoa học Công  
nghệ Mỏ; Viện Dầu khí

♦ Giấy phép xuất bản số:  
319/GP-BVHTT ngày 23/7/2002  
của Bộ Văn hóa Thông tin

♦ In tại Xí nghiệp in 2  
Nhà in Khoa học Công nghệ  
18 Hoàng Quốc Việt - Hà Nội  
Điện thoại: 024.37562778

♦ Nộp lưu chiểu:  
Tháng 9 năm 2018

## MỤC LỤC

### □ BỘ MÔN TÌM KIẾM-THĂM DÒ - 40 NĂM XÂY DỰNG VÀ PHÁT TRIỂN

- |   |                    |
|---|--------------------|
| ❖ Bộ môn Tìm kiếm-Thăm dò - 40 năm xây dựng và phát triển                                   | Nguyễn Tiến Dũng 1 |
| ❖ Một số thành tích nổi bật của Bộ môn Tìm kiếm-Thăm dò trong 40 năm xây dựng và phát triển | - 5                |

### □ KHOA HỌC VÀ CÔNG NGHỆ MỎ

- |  |                                     |
|--|-------------------------------------|
| ❖ Kết hợp phương pháp phân tích thứ bậc (AHP) với GIS trong dự báo phân vùng triển vọng quặng hóa wolfram khu vực Plei Meo, Kon Tum    | Đỗ Mạnh An 6<br>và nnk              |
| ❖ Đặc điểm địa chất và các yếu tố ảnh hưởng đến độ tổn thất trong khai thác quặng apatit khu mỏ Cốc, Cam Đường, Lào Cai                | Khương Thế Hùng 14<br>và nnk        |
| ❖ Đặc điểm quặng hóa vàng gốc khu vực Nâm Kha Á, Mường Tè, Lai Châu  | Nguyễn Phương 21<br>và nnk          |
| ❖ Một số vấn đề về tạo khoáng urani trong cát kết bồn trũng Nông Sơn   | Nguyễn Văn Lâm và 30<br>nnk         |
| ❖ Đặc điểm biến đổi nhiệt dịch liên quan quặng hóa urani vùng Pia Oắc-Bình Đường   | Trần Ngọc Thái 36<br>và nnk         |
| ❖ Đánh giá tiềm năng và định hướng quy hoạch thăm dò, khai thác, sử dụng khoáng sản vật liệu xây dựng tỉnh Quảng Bình                  | Lương Quang Khang 42<br>và nnk      |
| ❖ Đặc điểm thành phần khoáng vật, cấu tạo kiến trúc quặng đồng dải Biển Đông-Quý Sơn   | Lê Thị Thu 49<br>và nnk             |
| ❖ Đánh giá tài nguyên và giá trị kinh tế đá hoa khu vực Liên Hợp, Quý Hợp, Nghệ An   | Khương Thế Hùng 57<br>và nnk        |
| ❖ Đặc điểm quặng hóa và phân vùng triển vọng quặng vàng gốc khu vực San Xay-Altapeu-CHDCND Lào   | Houumphavanh 64<br>Phatthana và nnk |
| ❖ Đặc điểm quặng hóa thiếc khu vực Núi Cao Lạc Đường, Lâm Đồng   | Đỗ Văn Định 72<br>và nnk            |
| ❖ Đặc điểm khoáng vật và đặc tính lý hóa của khoáng vật halosyt có cấu trúc dạng ống tại mỏ Hang Dơi, Thạch Khoán, Phú Thọ             | Bùi Hoàng Bắc 80<br>và nnk          |
| ❖ Đặc điểm phân bố và tài nguyên, trữ lượng quặng titan, zircon trong sa khoáng ven biển khu vực Hòa Thắng, tỉnh Bình Thuận            | Nguyễn Trọng Toan 87<br>và nnk      |
| ❖ Lựa chọn phương pháp tính trữ lượng và dự báo tài nguyên quặng thiếc-wolfram khu vực Đông Bắc Việt Nam                               | Nguyễn Phương 92<br>và nnk          |
| ❖ Phát triển ứng dụng Webgis cho công tác quản lý các dữ liệu bản đồ khu mỏ đồng Sin Quyền, Lào Cai                                    | Nguyễn Chí Công và 100<br>nnk       |
| ❖ Ảnh hưởng của các cấu tạo biến dạng địa chất đến công tác cơ giới hóa trong khai thác than vùng Hòn Gai-Cẩm Phả                      | Nguyễn Hoàng Huân 105<br>và nnk     |
| ❖ Ứng dụng một số phương pháp toán địa chất trong phân chia kiểu mỏ đồng đối Phan Si Pan, Tây Bắc Việt Nam                             | Phan Việt Sơn 113<br>và nnk         |
| ❖ Đặc điểm cấu trúc các vỉa than và vấn đề thăm dò dưới mức -150 m ở Mỏ than Mạo Khê   | Nguyễn Tiến Dũng 120<br>và nnk      |
| ❖ Nghiên cứu xây dựng mối quan hệ giữa vận tốc "PPV" và các yếu tố ảnh hưởng do chấn động nổ mìn đào hầm đến kết cấu đường hầm lân cận | Võ Trọng Hùng, 128<br>Đặng Văn Kiên |

### □ KHOA HỌC KINH TẾ VÀ QUẢN LÝ NGÀNH MỎ

- |  |                       |
|--|-----------------------|
| ❖ Tình hình tài chính và hiệu quả kinh tế của hai dự án Alumin | Nguyễn Tiến Chỉnh 134 |
|--|-----------------------|

### □ THÔNG TIN KHOA HỌC-KỸ THUẬT NGÀNH MỎ

- |                             |                  |
|-----------------------------|------------------|
| ❖ Tin vắn ngành mỏ thế giới | Trung Nguyên 138 |
|-----------------------------|------------------|

*Ảnh Bìa 1: Giản khoan địa chất thăm dò (Ảnh DCTD)*



# ĐẶC ĐIỂM KHOÁNG VẬT VÀ ĐẶC TÍNH LÝ HÓA CỦA KHOÁNG VẬT HALOYSYT CÓ CẤU TRÚC DẠNG ỐNG TẠI MỎ HANG DƠI, THẠCH KHOÁN, PHÚ THỌ

BÙI HOÀNG BẮC, NGUYỄN TIẾN DŨNG, KHƯƠNG THẾ HÙNG,  
NGUYỄN VĂN LÂM, ĐỖ MẠNH AN, TRẦN THỊ VÂN ANH,  
TẠ THỊ TOÁN - Trường Đại học Mỏ-Địa chất  
NGUYỄN CAO KHƯƠNG - Công ty Cổ phần Khoáng sản 3  
Email: buihuongbac@humg.edu.vn

**T**ổ hợp các phương pháp phân tích bao gồm nhiễu xạ tia X (XRD), quang phổ hồng ngoại biến đổi Fourier (FT-IR), kính hiển vi điện tử quét (SEM-EDS), kính hiển vi truyền qua (TEM), phân tích khối lượng nhiệt (TG và DTG) và phương pháp đằng nhiệt hấp phụ-khử N<sub>2</sub> được sử dụng nhằm xác định sự tồn tại và bước đầu đánh giá được các đặc tính cơ lý cơ bản của khoáng vật haloysit khu mỏ Hang Dơi, Thạch Khoán, Phú Thọ. Kết quả phân tích XRD và FT-IR cho thấy rằng các khoáng vật haloysit và kaolinit cùng tồn tại trong cở hạt có kích thước <2 μm. Hình ảnh SEM và TEM chỉ ra rằng haloysit khu mỏ nghiên cứu có cấu trúc dạng ống với kích thước chiều dài ống từ 200–300 nm đến trên 1000 nm, đường kính ngoài của ống trung bình 100–150 nm. Diện tích bề mặt (S<sub>SET</sub>) của haloysit được xác định là 21,08 m<sup>2</sup>/g và kích thước đường kính trong của các ống chủ yếu là 4,5 nm. Haloysit khu mỏ nghiên cứu có đặc điểm khoáng vật và đặc tính cơ lý cơ bản tương đồng với haloysit đã nghiên cứu trên thế giới và kết quả nghiên cứu này góp phần mở ra những ứng dụng khác cho nguồn nguyên liệu khoáng này trong thời gian tới.

## 1. Tổng quan

Haloysit được phát hiện như một khoáng vật sét có cấu trúc 2 lớp loại hình 1:1 thuộc nhóm kaolin lần đầu tiên bởi nhà khoa học Berthier (1982) [1]. Công thức hóa học của haloysit khi ngâm nước là Al<sub>2</sub>Si<sub>2</sub>O<sub>5</sub>(OH)<sub>4</sub>.2H<sub>2</sub>O (với khoảng cách d=10 Å) và khi ở dạng khử nước là Al<sub>2</sub>Si<sub>2</sub>O<sub>5</sub>(OH)<sub>4</sub> (khoảng cách d=7 Å). Haloysit tồn tại dưới nhiều dạng hình thái khác nhau như dạng ống, dạng cầu và dạng llop. Tuy nhiên, haloysit dạng ống được cho là phổ biến nhất. Kích thước của khoáng vật haloysit dạng

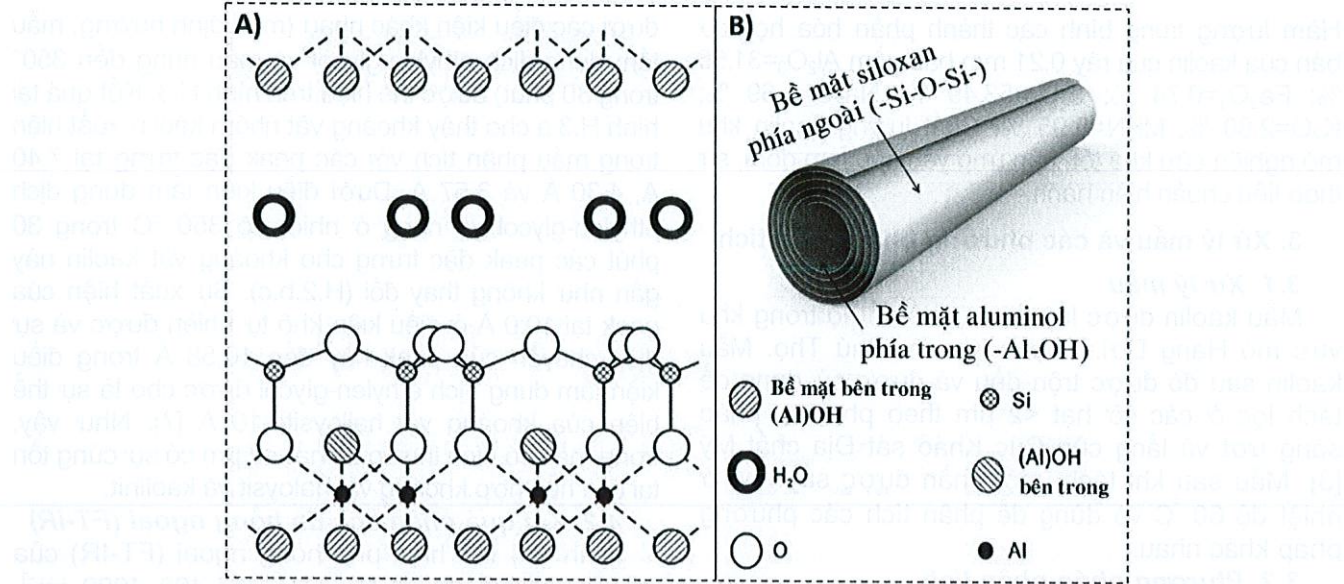
ống điển hình được xác định có đường kính ngoài 30–50 nanomet (nm), đường kính trong 1–30 nm và chiều dài trung bình từ 100–2000 nm [5] (H.1).

Các mỏ haloysit được phát hiện và khai thác nhiều ở các nước như Úc, Mỹ, Trung Quốc, New Zealand, Brazil và Mexico [11]. Trên thực tế, haloysit thường tồn tại cùng khoáng vật kaolinit và việc phân biệt chúng gặp những khó khăn nhất định. Trước đây, haloysit cùng với các khoáng vật khác của nhóm kaolin chủ yếu được khai thác với mục đích làm gốm sứ. Tuy nhiên, trong những năm gần đây, do có những đặc tính ưu việt như cấu trúc dạng ống, không độc, độ bền cơ học cao,... và có giá thành rẻ hơn so với nano carbon dạng ống, nên haloysit được các nhà khoa học quan tâm và áp dụng nhiều trong các lĩnh vực ứng dụng khác nhau. Các lĩnh vực sử dụng haloysit dạng ống bao gồm như trong dược phẩm, y học, thực phẩm, vật liệu cao cấp, nông nghiệp, môi trường [12],... Với những mặt hữu ích mà haloysit đem lại thì việc tìm kiếm những khu vực có haloysit dạng ống và việc đánh giá đặc tính của chúng có ý nghĩa quan trọng.

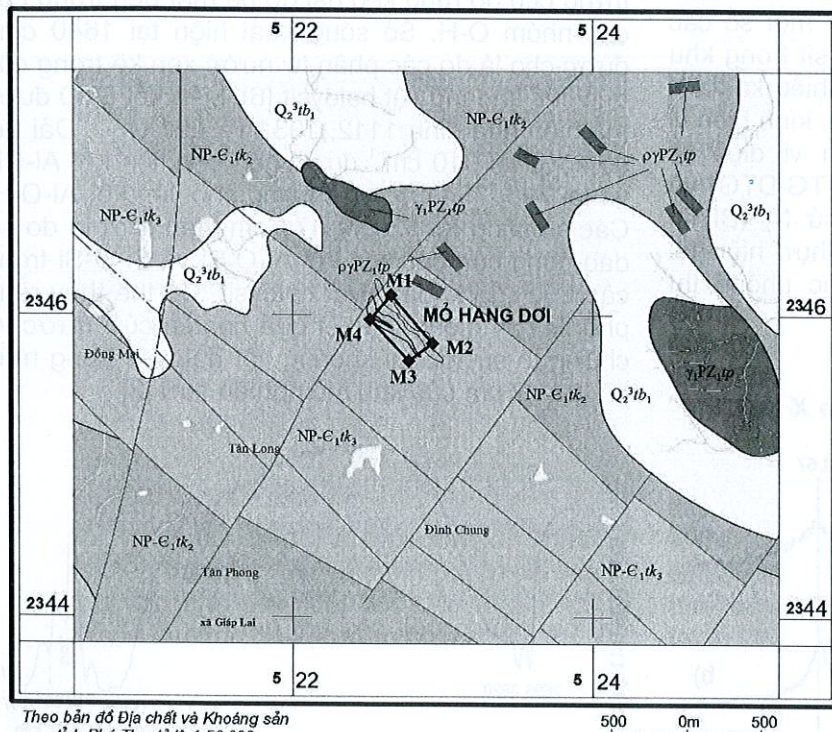
Trong bài báo này, tổ hợp các phương pháp phân tích được sử dụng nhằm xác định sự tồn tại và bước đầu đánh giá được các đặc tính cơ lý cơ bản của khoáng vật haloysit dạng ống khu mỏ Hang Dơi, Thạch Khoán, Phú Thọ. Kết quả đạt được góp phần làm sáng tỏ đặc điểm khoáng vật trong khu mỏ và mở ra những định hướng ứng dụng mới cho loại nguyên liệu khoáng này.

## 2. Đặc điểm địa chất khu mỏ Hang Dơi, Thạch Khoán [9]

Phân bố rộng khắp trong khu mỏ là các đá của hệ tầng Thạch Khoán, phân hệ tầng trên (NP-<sub>e1</sub> tk<sub>3</sub>)



H.1. Cấu trúc tinh thể (A) và Mô hình cấu trúc (B) của khoáng vật halloysit dạng ống [4]



### CHỈ DẪN

<b>HỆ ĐỆ TỨ</b>
Hệ tầng Thái Bình - Phân tầng dưới
Cuội, sỏi cát lẩn ít bột sét
<b>Phức hệ Tân Phương</b>
Pha 2: đá mạch aplit, pecmatit
<b>NEOPROTEROZOI-CAMBRI</b>
Hệ tầng Thạch Khoán
<b>Phân hệ tầng trên</b>
Quarzit, đá phiến thạch anh-muscovit
<b>Phân hệ tầng giữa</b>
Đá phiến thạch anh-muscovit-biotit cấu tạo sọc dài xen lít lớp quarzit
Ranh giới địa chất
Đứt gãy
Sông suối
Thân quặng kaolin - felspat

H.2. Sơ đồ địa chất vùng và vị trí khu mỏ nghiên cứu

Thành phần thạch học chủ yếu của phân hệ tầng bao gồm thạch anh, plagioclase, biotit, muscovite, sphen. Xuyên cắt lên hệ tầng Thạch Khoán trong khu mỏ là các thân pegmatit thuộc pha 2 phức hệ Tân Phương. Các thân pegmatit này kéo dài theo phương Tây Bắc-Đông Nam, cắm về Tây Nam với góc dốc  $50^{\circ}\text{-}70^{\circ}$  và có thành phần khoáng vật chính gồm thạch anh, felspat, mica, ít turmalin màu đen. Kết quả thăm dò và tài liệu khai thác chỉ ra rằng mặt cắt vỏ phong

hỏa các thân pegmatit khu mỏ từ trên xuống gồm ba lớp như sau: Trên cùng là lớp đất phủ màu nâu vàng, vàng nhạt lẫn nhiều mảnh vụn thạch anh, mica và mùn thực vật, có chiều dày trung bình 2,85 m. Tiếp đến là lớp kaolin màu trắng, trắng phớt vàng là sản phẩm phong hóa hoàn toàn của pegmatit, có chiều dày trung bình 13 m. Dưới cùng là lớp pegmatit còn tươi chưa bị phong hóa, rắn chắc màu trắng hồng, quan sát rõ tinh thể thạch anh, felspat, mica, turmalin.

Hàm lượng trung bình các thành phần hóa học cơ bản của kaolin qua rây 0,21 mm bao gồm  $\text{Al}_2\text{O}_3=31,55\%$ ;  $\text{Fe}_2\text{O}_3=0,74\%$ ;  $\text{SiO}_2=53,49\%$ ;  $\text{Na}_2\text{O}=1,69\%$ ;  $\text{K}_2\text{O}=2,60\%$ ;  $\text{MKN}=8,95\%$ . Chất lượng kaolin khu mỏ nghiên cứu khá tốt, đáp ứng yêu cầu làm gốm, sứ theo tiêu chuẩn hiện hành.

### 3. Xử lý mẫu và các phương pháp phân tích

#### 3.1. Xử lý mẫu

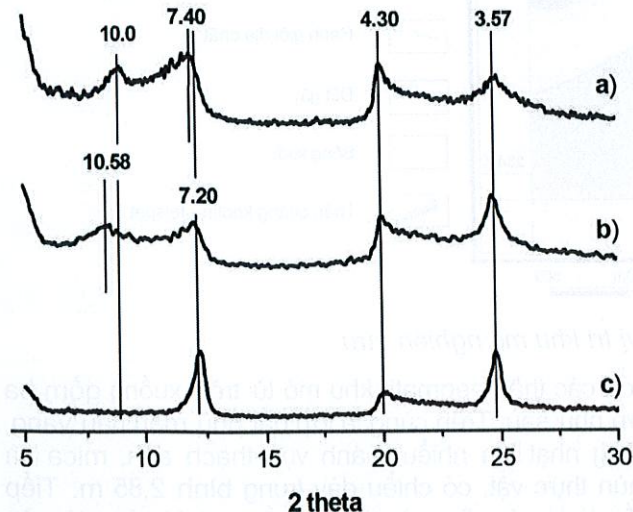
Mẫu kaolin được lấy tại một số vết lở trong khu vực mỏ Hang Dơi, Thạch Khoán, Phú Thọ. Mẫu kaolin sau đó được trộn đều và được sử dụng để tách lọc ở các cỡ hạt  $<2\text{ }\mu\text{m}$  theo phương pháp sàng ướt và lắng của Cục Khảo sát Địa chất Mỹ [3]. Mẫu sau khi tách, một phần được sấy khô ở nhiệt độ  $60^\circ\text{C}$  và dùng để phân tích các phương pháp khác nhau.

#### 3.2. Phương pháp phân tích

Tổ hợp các phương pháp phân tích được sử dụng nhằm xác định sự tồn tại, đặc điểm hình thái, cấu trúc, cũng như để xác định một số các đặc tính hóa lý của khoáng vật haloysit trong khu mỏ nghiên cứu bao gồm: phân tích nhiễu xạ tia X (XRD), quang phổ hồng ngoại (FT-IR), kính hiển vi điện tử quét (SEM-EDS), kính hiển vi điện tử truyền qua (TEM), nhiệt khối lượng (TG-DTG) và phương pháp đỗng nhiệt hấp phụ-khử  $\text{N}_2$  (BET). Các phương pháp phân tích được thực hiện tại Trường Đại học Mỏ-Địa chất và các phòng thí nghiệm chức năng khác.

### 4. Kết quả nghiên cứu

#### 4.1. Kết quả phân tích nhiễu xạ tia X (XRD)



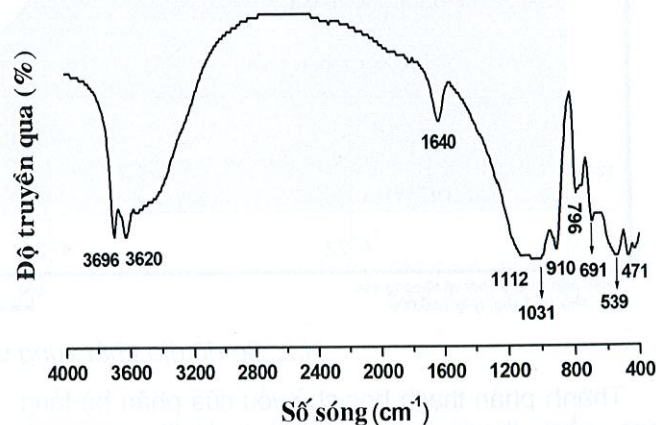
H.3. Giản đồ XRD của mẫu có độ hạt  $<2\text{ }\mu\text{m}$  ở điều kiện khác nhau: a - Mẫu định hướng; b - Mẫu tẩm ethylen-glycol; c - Mẫu nung tại  $350^\circ\text{C}/30\text{ phút}$

Giản đồ XRD cho mẫu có kích thước hạt  $<2\text{ }\mu\text{m}$

dưới các điều kiện khác nhau (mẫu định hướng, mẫu tẩm dung dịch ethylen-glycol và mẫu nung đến  $350^\circ\text{C}$  trong 30 phút) được thể hiện trên hình H.3. Kết quả tại hình H.3.a cho thấy khoáng vật nhóm kaolin xuất hiện trong mẫu phân tích với các peak đặc trưng tại  $7,40\text{ \AA}$ ,  $4,30\text{ \AA}$  và  $3,57\text{ \AA}$ . Dưới điều kiện tẩm dung dịch ethylen-glycol và nung ở nhiệt độ  $350^\circ\text{C}$  trong 30 phút các peak đặc trưng cho khoáng vật kaolin này gần như không thay đổi (H.2.b,c). Sự xuất hiện của peak tại  $10,0\text{ \AA}$  ở điều kiện khô tự nhiên được và sự dịch chuyển của peak này đến  $10,58\text{ \AA}$  trong điều kiện tẩm dung dịch ethylen-glycol được cho là sự thể hiện của khoáng vật halloysite- $10\text{ \AA}$  [7]. Như vậy, trong mẫu có kích thước hạt  $<2\text{ }\mu\text{m}$  có sự cùng tồn tại của hỗn hợp khoáng vật haloysit và kaolinit.

#### 4.2. Kết quả phân tích tia hồng ngoại (FT-IR)

Hình H.4 thể hiện phổ hồng ngoại (FT-IR) của mẫu có cỡ hạt  $<2\text{ }\mu\text{m}$  trong dải phổ  $4000-400\text{ cm}^{-1}$ . Các đỉnh phổ ở số sóng tại  $3696$  và  $3620\text{ cm}^{-1}$  đặc trưng cho độ rung kéo dài do bề mặt bên trong của các nhóm O-H. Số sóng xuất hiện tại  $1640\text{ cm}^{-1}$  được cho là do các phân tử nước xen kẽ trong cấu trúc của khoáng vật haloysit [6]. Liên kết Si-O được thể hiện qua đỉnh  $1112$ ,  $1031$  và  $691\text{ cm}^{-1}$ . Dải tần số sóng tại  $910\text{ cm}^{-1}$  được gán cho liên kết Al-OH và tại  $796$ ,  $754\text{ cm}^{-1}$  đặc trưng cho liên kết Al-O-H. Các số sóng tại  $539$  và  $471\text{ cm}^{-1}$  lần lượt là do sự dao động của các liên kết Al-O-Si và Si-O-Si trong cấu trúc của khoáng vật haloysit. Có thể thấy rằng phổ IR này giống với kết quả nghiên cứu trước và chứng tỏ sự tồn tại khoáng vật haloysit trong mẫu cỡ hạt  $<2\text{ }\mu\text{m}$  của khu mỏ nghiên cứu [2].



H.4. Giản đồ FT-IR cho mẫu có độ hạt  $<2\text{ }\mu\text{m}$

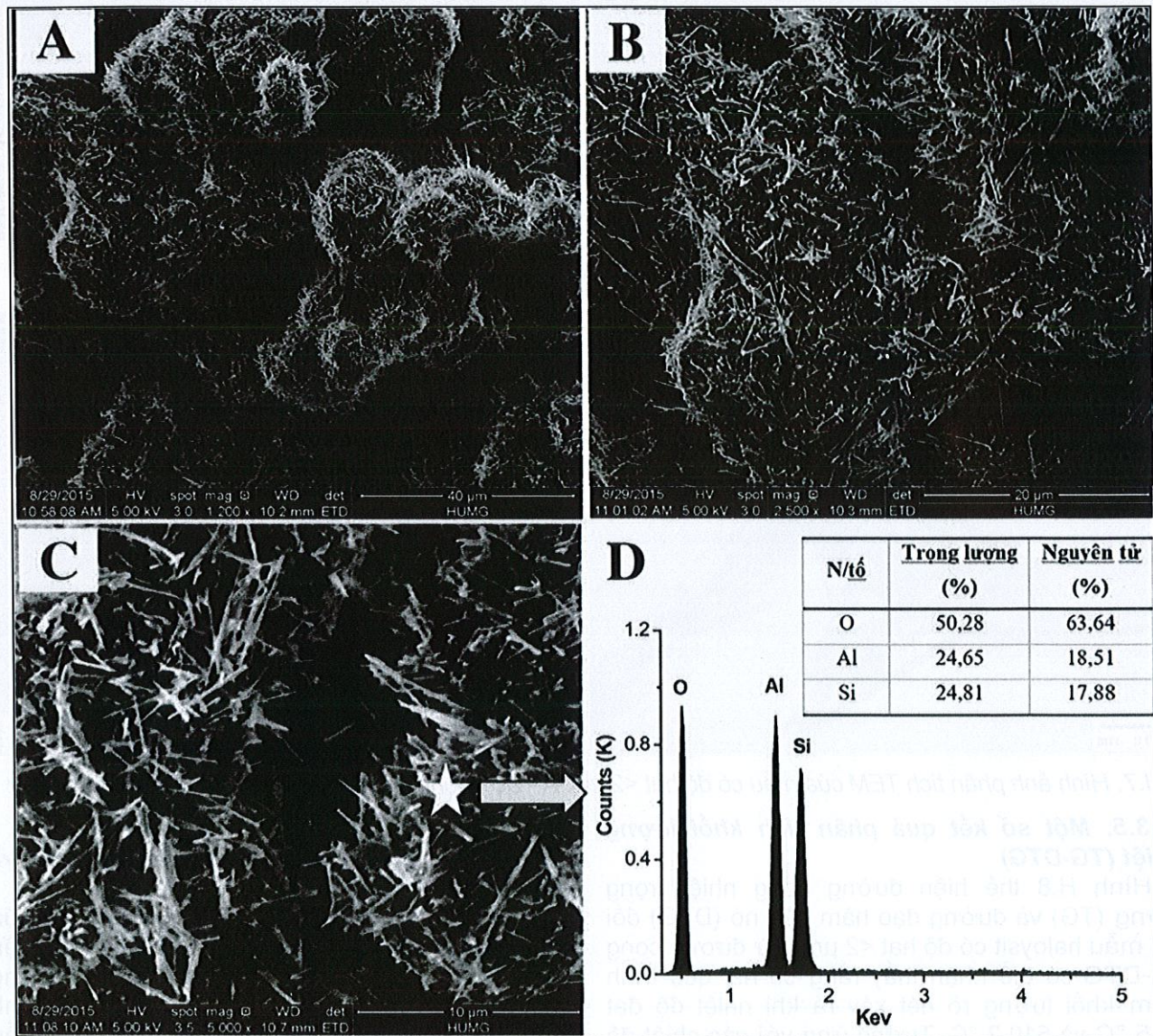
#### 4.3. Kết quả phân tích điện tử quét (SEM-EDS)

Mẫu kaolin tự nhiên của khu mỏ nghiên cứu được làm khô và đem phân tích SEM-EDS. Hình ảnh phân tích SEM được chụp dưới các độ phóng đại khác nhau và được thể hiện ở hình H.5.A, B, C. Từ những hình ảnh SEM này cho thấy trong mẫu

phân tích đều có các khoáng vật dạng hình que nằm chồng lấn lên nhau tạo thành những lớp bông. Các khoáng vật hình que càng được thể hiện rõ nét hơn khi chụp ảnh SEM với độ phóng đại lớn hơn. Ngoài ra, kết quả phân tích thành phần bán định lượng sử dụng đầu dò EDS trong máy SEM (H.5.D) ghi nhận sự có mặt các nguyên tố chính trong khoáng vật này gồm Al, Si và O, tương ứng với công thức hóa học của khoáng vật nhóm kaolin ( $\text{Al}_2\text{Si}_2\text{O}_5(\text{OH})_4\cdot n\text{H}_2\text{O}$ ). Các kết quả nghiên cứu

này là những yếu tố rõ nét chỉ ra rằng sự tồn tại của khoáng vật halloysit hình que trong khu mỏ nghiên cứu.

Mẫu halloysit khu mỏ nghiên cứu sau khi được tách đén kích thước hạt  $<2 \mu\text{m}$  cũng được tiến hành phân tích SEM. Kết quả cho thấy rằng mức độ tập trung và độ tinh khiết của các khoáng vật halloysit tăng lên rõ nét (H.6). Điều này chứng tỏ halloysit tồn tại là những khoáng vật có kích thước nhỏ trong khu mỏ nghiên cứu.

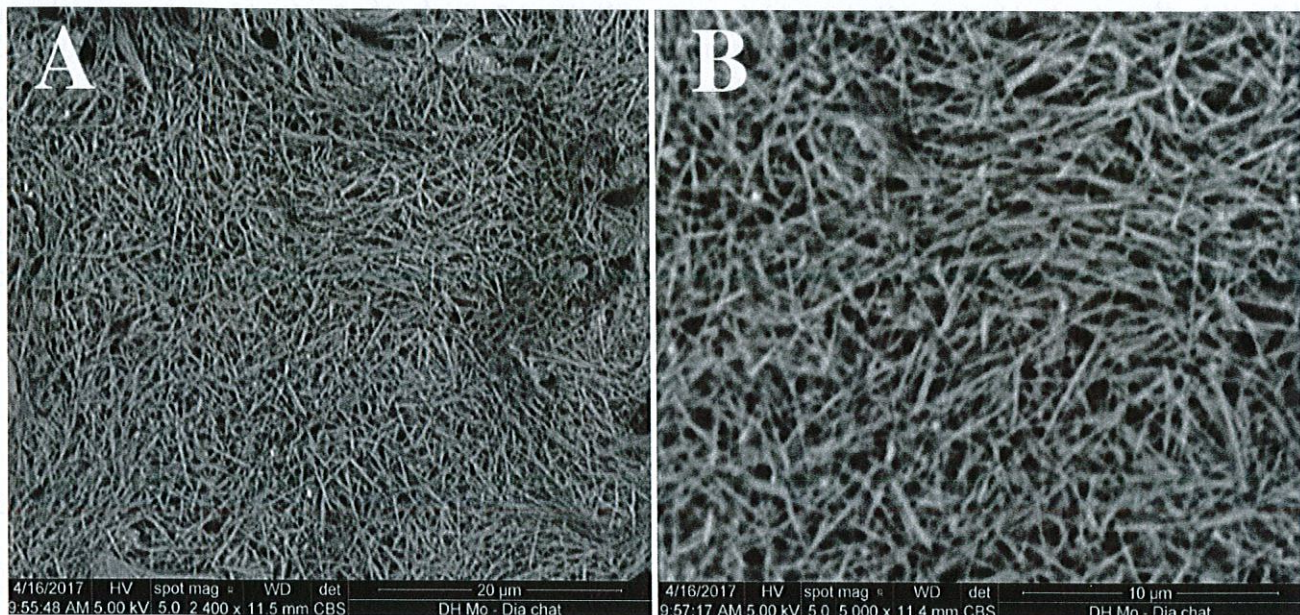


H.5. Hình ảnh phân tích SEM và giản đồ EDS (D) của mẫu gốc tự nhiên:  
A - Độ phóng đại 1200x; B - Độ phóng đại 2500x; C - Độ phóng đại 5000x

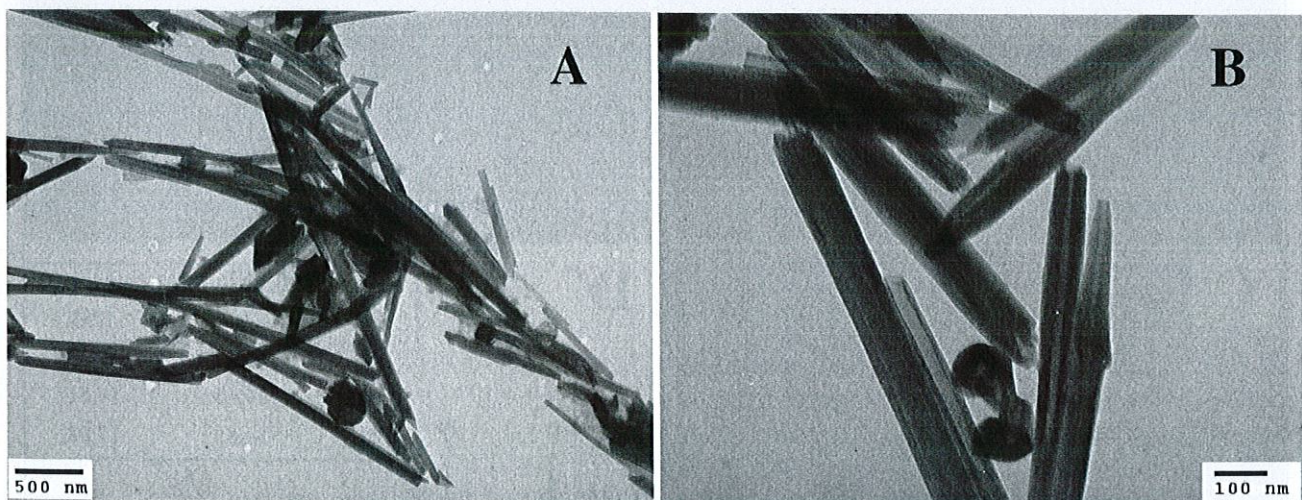
### 3.4. Kết quả phân tích điện tử truyền qua (TEM)

Kết quả phân tích TEM cho mẫu halloysit khu mỏ nghiên cứu theo mức độ phóng đại khác nhau được thể hiện ở hình H.7. Các hình ảnh cho thấy halloysit có cấu trúc dạng ống với chiều dài các ống halloysit

khá đa dạng, từ 200÷300 nm đến trên 1000 nm. Đường kính ngoài của các ống halloysit có kích thước trung bình 100÷150 nm. Các đặc điểm này cho thấy halloysit khu mỏ nghiên cứu khá tương đồng với halloysit đặc trưng trên thế giới [11].



H.6. Hình ảnh phân tích SEM của mẫu có độ hạt <2 μm: A - Độ phóng đại 2400x; B - Độ phóng đại 5000x



H.7. Hình ảnh phân tích TEM của mẫu có độ hạt <2 μm: A - Độ phóng đại 10600x; B - Độ phóng đại 39800x

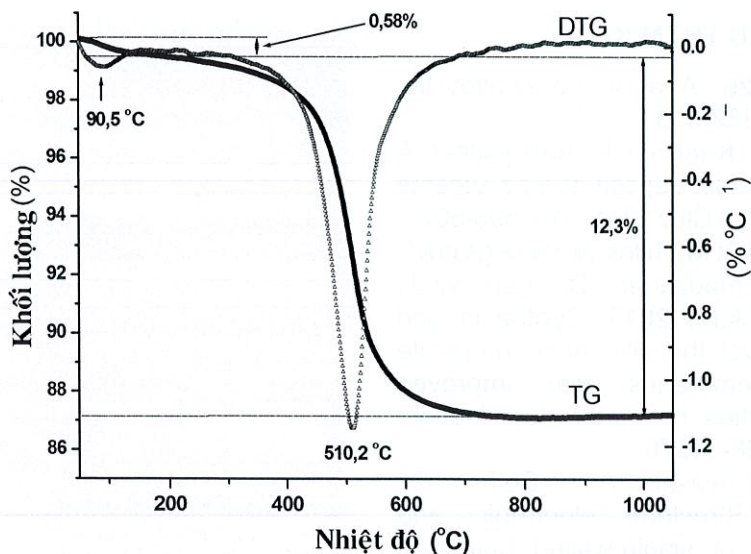
### 3.5. Một số kết quả phân tích khói lượng nhiệt (TG-DTG)

Hình H.8 thể hiện đường cong nhiệt trọng lượng (TG) và đường đạo hàm của nó (DTG) đối với mẫu haloysit có độ hạt <2 μm. Từ đường cong TG-DTG có thể nhận thấy rằng có hai quá trình giảm khói lượng rõ nét xảy ra khi nhiệt độ đạt 90,5 °C và 510,2 °C. Tương ứng với các nhiệt độ trên là khói lượng bị mất là 0,58 % và 12,3 %. Khói lượng giảm đầu tiên (0,58 %) là do khói lượng nước tồn tại trong mẫu bị mất đi trong quá trình nhiệt độ tăng. Khói lượng giảm tiếp theo (12,3 %) là do quá trình khử nước trong các cấu trúc của nhóm aluminol của khoáng vật haloysit. Kết quả phân tích nhiệt lượng đối với haloysit khu mỏ nghiên cứu đều phù hợp với kết quả nghiên

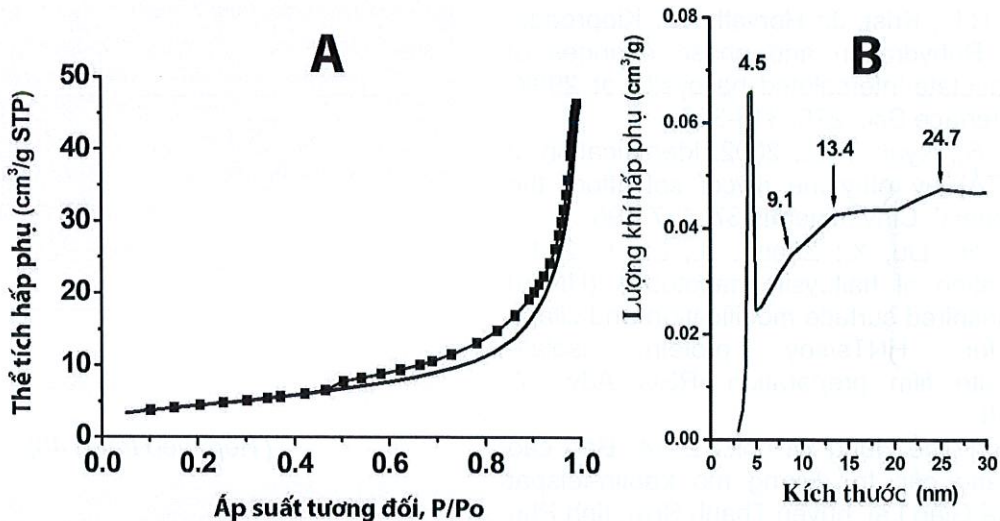
cứu haloysit trên thế giới [8].

### 3.6. Một số kết quả phân tích độ rỗng và diện tích bề mặt ( $S_{BET}$ )

Đường đẳng nhiệt hấp phụ-khử hấp phụ của mẫu haloysit có độ hạt <2 μm (H.9.A) thể hiện kiểu kết hợp II và III với vòng trễ H3, đặc trưng cho vật liệu có cấu trúc mao quản trung bình [10]. Diện tích bề mặt của các haloysit trong mẫu ( $S_{BET}$ ) được xác định là  $21,08 \text{ m}^2/\text{g}$ , khá tương đồng với diện tích bề mặt của haloysit khu vực. Hình H.9.B thể hiện đường phân bố kích thước mao quản của khoáng vật haloysit khu mỏ nghiên cứu. Kết quả cho thấy haloysit khu mỏ có đường kính trong của các ống haloysit phân bố chủ yếu ở kích thước 4,5 nm, ít hơn là các đường kính 9, 14 và 25 nm.



H.8. Giản đồ TG-DTG của mẫu haloysit có độ hạt  $<2 \mu\text{m}$ .



H.9. Đường đẳng nhiệt hấp phụ-khử hấp phụ  $N_2$  (A) và Đường phân bố kích thước mao quản (B) của haloysit trong mẫu có độ hạt  $<2 \mu\text{m}$ .

#### 4. Kết luận

Trong khu mỏ Hang Dơi, Thạch Khoán, Phú Thọ tồn tại khoáng vật haloysit dạng ống. Các khoáng vật haloysit này có kích thước nhỏ và tập trung chủ yếu trong độ hạt  $<2 \mu\text{m}$ . Chiều dài các ống haloysit từ 200–300 nm đến trên 1000 nm và đường kính ngoài của ống trung bình 100–150 nm. Diện tích bề mặt của các haloysit được xác định là  $21.08 \text{ m}^2/\text{g}$  và đường kính trong của các ống haloysit phân bố chủ yếu ở kích thước 4,5 nm. Các đặc điểm này cho thấy haloysit khu mỏ nghiên cứu khá tương đồng với haloysit đặc trưng trên thế giới. Kết quả đạt được góp phần làm sáng tỏ đặc điểm khoáng vật trong khu mỏ và mở ra những định hướng ứng dụng mới cho loại nguyên liệu khoáng này.

#### 5. Kiến nghị

Từ những kết quả nghiên cứu trên đây, chúng tôi rút ra một số kết luận như sau:

- Nghiên cứu quy trình tuyển nhằm nâng cao độ tinh khiết và độ thu hồi haloysit khu mỏ;
- Cần có thêm những phân tích toàn diện để làm rõ hơn đặc tính của haloysit khu vực nghiên cứu;
- Nghiên cứu sử dụng haloysit dạng ống khu vực nghiên cứu vào những ứng dụng cụ thể, có hiệu quả, từ đó có thể đưa vào thực tế sản xuất. □

**Lời cảm ơn:** Kết quả nghiên cứu của bài báo được hoàn thành từ sự hỗ trợ kinh phí của đề tài nghiên cứu cấp Bộ Giáo dục và Đào tạo, mã số T17-10.

## TÀI LIỆU THAM KHẢO

1. Berthier, P., 1826. Analyse de l'halloysite. Ann. Chim. Phys., 32, 332-335.
2. Bobos, I., 2001. Kaolinite to halloysite-7 Å transformation in the kaolin deposit of São Vicente de Pereira, Portugal. Clays Clay Miner., 49, 596-607.
3. Cục khảo sát Địa chất Mỹ: <https://www.usgs.gov/>.
4. Ghanbari, M., Emadzadeh, D., Lau, W.J., Matsuura, T., Ismail, A.F., 2015. Synthesis and characterization of novel thin film nanocomposite reverse osmosis membranes with improved organic fouling properties for water desalination. RSC Advances 5, 21268-21276.
5. Guimaraes, L.; Enyashin, A.N.; Seifert, G.; Duarte, H.A., 2010. Structural, electronic, and mechanical properties of single-walled halloysite nanotube models. J. Phys. Chem. C., 114, 11358-11363.
6. Frost, R.L.; Krist, J.; Horvath, E.; Kloprogge, J.T., 2000. Rehydration and phase changes of potassium acetate-intercalated halloysite at 298K. J. Colloid Interface Sci., 226, 318-327.
7. Hillier, S., Ryan, P.C., 2002. Identification of halloysite (7Å) by ethylene glycol solvation: the 'MacEwan effect'. Clay minerals 37, 487-496.
8. Kang, H.; Liu, X.; Zhang, S.; Li, J., 2017. Functionalization of halloysite nanotubes (HNTs) via mussel-inspired surface modification and silane grafting for HNTs/soy protein isolate nanocomposite film preparation. RSC Adv., 7, 24140-24148.
9. Khương Thê Hùng và nnk., 2014. Báo cáo thăm dò nâng cấp trữ lượng mỏ kaolin-felspat Hang Dơi, xã Giáp Lai, huyện Thanh Sơn, tỉnh Phú Thọ. Lưu trữ tại Công ty Cổ phần Khoáng sản 3.
10. Lun, H.; Ouyang, J.; Yang, H., 2014. Natural halloysite nanotubes modified as an aspirin carrier. RSC Adv., 4, 44197-44202.
11. Wilson, I.; Keeling, J., 2016. Global occurrence, geology and characteristics of tubular halloysite deposits. Clay Miner., 51, 309-324.
12. Yuan, P.; Tan, D.; Annabi-Bergaya, F., 2015. Properties and applications of halloysite nanotubes: Recent research advances and future prospects. Appl. Clay Sci., 112-113, 75-93.

**Ngày nhận bài:** 12/04/2018

**Ngày gửi phản biện:** 16/05/2018

**Ngày nhận phản biện:** 02/07/2018

**Ngày chấp nhận đăng bài:** 10/08/2018

**Từ khóa:** halosit, kaolinit, cấu trúc dạng ống, Thạch Khoán

## SUMMARY

Kaolin samples obtained from Hang Dơi deposit, Thạch Khoán, Phú Thọ province were characterized by X-ray diffraction (XRD), Fourier transform infrared spectroscopy (FT-IR) scanning electron microscopy-Energy Dispersive X-Ray Spectroscopy (SEM-EDS), transmission electron microscopy (TEM), thermal analysis (TG-DTG) and N<sub>2</sub> absorption-desorption isotherms. XRD and FT-IR showed that halloysite (10 Å and 7Å basal spacing) and kaolinite coexist in sample of size fractions <2 µm. SEM and TEM analyses showed that the halloysites have hollow nanotube structures with typical outer diameters of 100±150 nm and lengths of 200±300 to over 1000 nm. Halloysite has the specific surface area of 21,08 m<sup>2</sup>/g and the common inner diameter of 4,5 nm This information is useful for the understanding of characteristics of minerals as well as general phys-chem properties of halloysite in the deposit and for using this natural resource effectively.

## ĐÁNH GIÁ TIỀM NĂNG...

(Tiếp theo trang 48)

## SUMMARY

The construction industry of Quảng Bình province has experienced a high growth rate in recent years, particularly in the fields of exploitation industry, processing, and utilization of common building materials resources. This has contributed to the economic restructuring towards the direction of industrialization and modernization, which integrate with the development trend of the whole country. In the upcoming years, in order to meet the increasing demand for minerals for construction in the area, we have executed to allocate 7 sites of conventional building materials in Quảng Bình. In particular, the focus is mainly on three types consist of clay brick; building rocks; sand and gravel construction with the total reserve of 238.74 million m<sup>3</sup>.